

شناسایی خسارت سازه‌یی در قاب‌های برشی براساس پردازش سیگنال با استفاده از تبدیل *S* تعمیم‌یافته با پنجره‌یی مختلط

درویش عرضه، آتش‌نشانی
دانشکده مهندسی عمران، دانشگاه علم و صنعت ایران
۱۳۹۵/۶/۲۰ - ۱۴۰۰/۶/۲۰

غلامرضا فخری‌امیری (استاد)

مصطفی اخوات (کارشناس ارشد)

حامد امینی تهرانی* (کارشناس ارشد)

دانشکده مهندسی عمران، دانشگاه علم و صنعت ایران

در این نوشتار روشی موزیر برای شناسایی خرابی در قاب‌های برشی براساس پردازش سیگنال با استفاده از تبدیل *S* با پنجره‌یی مختلط و مدولاسیون فاز (*SCW*) معرفی شده است. تبدیل *S* برای غایب کردن بر محدودیت‌های ذاتی تبدیل موجک در نمایش زمان - بسامد سیگنال در چند سال گذشته توسعه داده شده است. نوع تعمیم‌یافته‌ی این تبدیل *S* با پنجره‌یی مختلط و مدولاسیون فاز (*SCW*) است که قابلیت بالایی در موضوعی سازی اشکال موجی در حوزه‌ی زمان - بسامد بر روی سیگنال دارد. در این نوشتار تبدیل *SCW* به دلیل عملکرد مطلوب آن در تشخیص محل و تخمین مقدار خسارت مورد استفاده، قرار گرفته است. عملکرد تبدیل *SCW* در روش معرفی شده با استفاده از دو مثال عددی و مقایسه‌ی تابع آن با تابع بدست‌آمده از روش تبدیل موجک بررسی شده است. مقایسه بین محل و مقدار خسارت بدست‌آمده از روش تبدیل موجک بررسی شده و روش تبدیل موجک در مدل شیوه سازی شده، یا انگر این مطلب است که روش نسبت به محل و مقدار خسارت حساس است و علاوه بر تشخیص محل آسیب در سازه، تخمین بسیار خوبی از مقدار خرابی در سازه در دو حالت وجود و عدم وجود نویز در سیگنال‌های ثبت‌شده را بدست می‌دهد.

ghodrati@iust.ac.ir
hdma.akhavat@gmail.com
hmdamini@yahoo.com

وازگان کلیدی: شناسایی خسارت، تبدیل *S* تعمیم‌یافته با پنجره‌یی مختلط، تبدیل موجک، پردازش سیگنال، قاب‌های برشی.

۱. مقدمه

گذشته توسط پژوهشگران بسیاری در شناسایی خسارت سازه‌یی مورد استفاده قرار گرفته است، که در اینجا به برخی از آن‌ها اشاره شده است. در پژوهشی در سال ۲۰۰۰، توانایی گستردگی آنالیز موجک برای استخراج نقاط تکین از سیگنال نمایش داده شده است. که در آن برای مقایسه‌ی تابع بدست‌آمده، مطالعاتی بر روی داده‌های حاصل از شبیه‌سازی عددی یک مدل ساده‌ی سازه‌یی با فتره‌ی موازی قابل شکست و همچنین داده‌های واقعی ثبت‌شده از بام یک قاب در مدت زمان وقوع زلزله انجام شده است.^[۱]

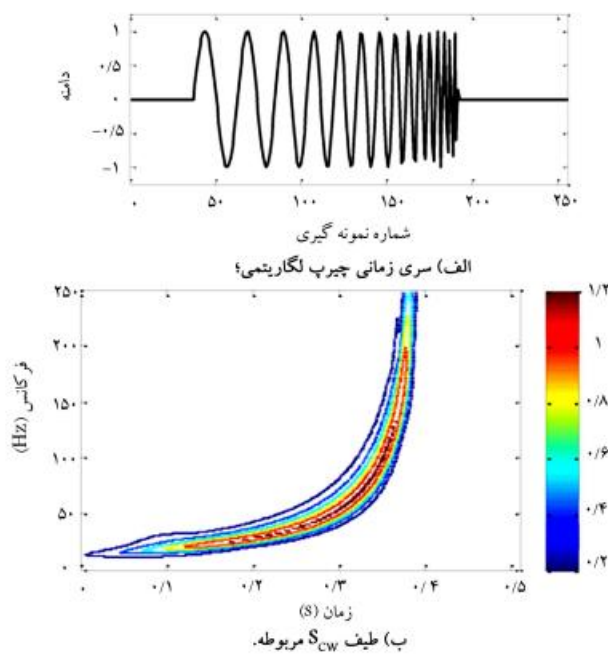
در پژوهش دیگری نیز در سال ۲۰۰۱، از آنالیز موجک معتمد برای تحلیل داده‌های کرنی اندازه‌گیری شده توسط حسگرهای پیزوالکتریک، به منظور شناسایی رشد ترک در وسط یک صفحه‌ی الومینیوم مستطیلی استفاده شده است.^[۲] همچنین در پژوهشی در سال ۲۰۰۲، روشی مبتنى بر آنالیز بسته‌ی موجک برای شناسایی خسارت سازه‌یی پیشنهاد شده است. در روش پیشنهادی مذکور، ابتدا سیگنال ارتعاشی سازه به مؤلفه‌های بسته‌ی موجک تجزیه، سپس ارزی این مؤلفه‌ها محاسبه، و به عنوان ورودی شبکه‌ی عصبی برای شناسایی آسیب به‌کار برده شده

شناسایی خسارت در سازه‌ها در چند دهه‌ی گذشته با توجه به پیشرفت‌های اخیر در روش‌های پردازش سیگنال و ساخت دستگاه‌های ثبت سیگنال‌های پاسخ سازه از قبیل شتاب، سرعت و جایه‌جایی، رشد چشم‌گیری داشته است و توجه بسیاری از پژوهشگران در مهندسی سازه را به خود جلب کرده است. عموماً شناسایی خسارت در سازه‌ها شامل ۴ مرحله است: ۱. تشخیص وجود آسیب، ۲. تشخیص محل آسیب، ۳. کمی‌سازی شدت خرابی، ۴. پیش‌بینی عمر باقی‌مانده‌ی سازه.^[۱]

محققان در سال ۱۹۹۸، تاریخچه‌ی جامع و کاملی از روش‌های پایش سلامت سازه‌ها و همچنین کاربری و معایب هر یک از روش‌های ارائه دادند.^[۳] از جمله ابزارهای پردازش سیگنال می‌توان به تبدیل فوریه‌ی سریع (FFT)،^[۱] تبدیل فوریه‌ی زمان - کوتاه (STFT)^[۱]، تبدیل موجک (WT)^[۳] و تبدیل بسته‌ی موجک (WPT)^[۴] اشاره کرد. در این میان تبدیل موجک و تبدیل بسته‌ی موجک در طول یک دهه‌ی

* نویسنده مسئول

تاریخ: دریافت ۱۴/۷/۱۳۹۲، اصلاحیه ۱، ۱۳۹۳/۷/۱۲، پذیرش ۱۳۹۳/۷/۱۲



شکل ۱. سری زمانی چرپ لگاریتمی و نمایش زمان - بسامد آن با استفاده از تبدیل S تعمیم یافته.

S تعمیم یافته با پنجره‌ی گاوی مختلط در شکل ۱ آورده شده است که حاوی سری زمانی چرپ لگاریتمی با طول ۲۵۶ نقطه و فاصله‌ی نمونه‌گیری ۱ ثانیه است. در این شکل، سری زمانی مورد استفاده و طیف S_{CW} مربوط با فرض $\sigma = 6$ نشان داده شده است. همان‌طور که در شکل مذکور مشاهده می‌شود، این تبدیل مرکز بهتری از اتزی این سیگنال در صفحه‌ی زمان - بسامد را نشان می‌دهد.

۴. فرایند تشخیص خرابی با استفاده از تبدیل S_{CW}

در اینجا ابتدا شاخص SAD ^۹ معرفی شده است، که براساس پردازش سیگنال و با استفاده از تبدیل S_{CW} به دست می‌آید. سپس با استفاده از این شاخص یک روش مؤثر و کارآمد به منظور شناسایی محل و تاخیم میزان آسیب در سازه ارائه شده است. در اینجا فرایندی به منظور شناسایی خسارت در قاب‌های پرشی توسط تبدیل S_{CW} معرفی شده است:

۱. اندازه‌گیری سیگنال‌های پاسخ تغییرمکان در تمامی طبقات سازه در دو حالت سالم و خسارت دیده تحت بارگذاری لرزه‌ی!
۲. محاسبه‌ی سیگنال تغییرمکان نسبی طبقه‌ی k_A از سازه به صورت تفاضل سیگنال تغییرمکان طبقه‌ی k_A از سیگنال تغییرمکان طبقه‌ی $(1-k_A)$:
۳. پردازش سیگنال محاسبه‌شده در گام ۲ با استفاده از تبدیل S_{CW} و محاسبه‌ی ماتریس $M \times N$ تبدیل S_{CW} با مقادیر مختلط، که M و N به ترتیب تعداد سطرهای و ستون‌های ماتریس S_{CW} هستند!
۴. محاسبه‌ی میانگین قدرمطلق هر ستون ماتریس S_{CW} ، که تیجه‌ی آن یک بردار $1 \times N$ است. درایه‌ی نام از این بردار میانگین ستون نام از قدرمطلق ماتریس S_{CW} است. بردار میانگین از رابطه‌ی ۸ به دست می‌آید:

$$\text{Mean Vector}(1 \times N) = \text{Mean}[abs(S_{CW} - \text{matrix})] \quad (8)$$

به دست آوردن وضوح بسامدی بالاتر در پهنه‌ی بسامدی کم، پنجره‌ی زمان پهن است و بالعکس، در پهنه‌ی بسامدی بالا برای به دست آوردن وضوح بسامدی بالا پنجره‌ی زمان باریک است.

هر دو تبدیل S و موجک، خصوصیات وضوحی چندگانه دارند. اما بسامد در تبدیل موجک بیان نمی‌شود و تبدیل S ترکیبی از زمان و بسامد است تبدیل موجک، چند پارگی دارد، زیرا تابع موجک، انتخاب‌های بسیار دارد.

علاوه بر این، احیای موجک منجر به ازدست رفتن اطلاعات می‌شود، در صورتی که تبدیل S غیرمخرب و معکوس پذیر است. تفاوت اساسی دو تبدیل در این نکه است که تبدیل S در برگیرنده‌ی ضرب فاز است.^[۱۱]

تبدیل S تعمیم یافته با استفاده از تبدیل S اصلی و با جایگزین کردن پنجره‌ی گاوی با یک پنجره‌ی تعمیم یافته به صورت رابطه‌ی ۴ تعریف می‌شود:^[۱۲]

$$S(\tau, f, p) = \int_{-\infty}^{+\infty} x(t) w_{gen}(\tau - t, f, p) \exp(-2\pi ift) dt \quad (4)$$

که در آن، p یانگر مجموعه‌ی پارامترهای کنترل‌کننده‌ی شکل پنجره‌ی تعمیم یافته است.

۳. تبدیل S تعمیم یافته با پنجره‌ی گاوی مختلط (S_{CW})

تبدیل S تعمیم یافته با پنجره‌ی گاوی مختلط به صورت رابطه‌ی ۵ تعریف می‌شود:^[۱۳]

$$S_{CW}(\tau, f, \sigma) = \int_{-\infty}^{\infty} h(t) \{w_{CG}(\tau - t, f, \sigma) \times \exp(-2\pi ift)\} dt \quad (5)$$

که در آن، w_{CG} پنجره‌ی گاوی مختلط است که با اعمال مدولاسیون فاز با استفاده از یک فاکتور مختلط مناسب به صورت رابطه‌ی ۶ حاصل می‌شود:

$$w_{CG}(\tau - t, f, \sigma) = \begin{cases} P \exp\left[-\frac{f^2(\tau-t)^2}{\tau}\right] \exp\{-2\pi if(\tau-t)\}, & t < \tau + \sigma / |f| \\ + 2\pi i \text{sign}(f) \sigma \log[\sigma + |f|(\tau-t)] \}, & \\ 0, & t \geq \tau + \sigma / |f| \end{cases} \quad (6)$$

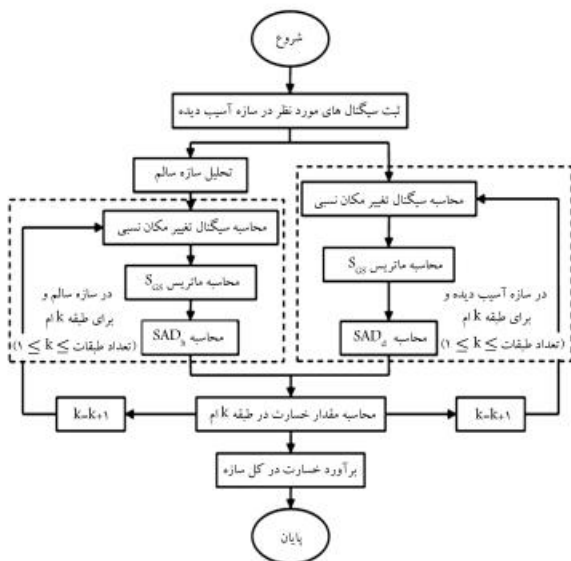
پیش ضریب P در w_{CG} به صورت رابطه‌ی ۷ تعریف می‌شود:

$$P^{-1} = \int_{-\sigma / |f|}^{\infty} \exp\left\{-\frac{f^2 \tau^2}{4} - 2\pi if\tau + 2\pi i \text{sign}(f)\right\} \times \sigma \log[\sigma + |f|\tau] d\tau \quad (7)$$

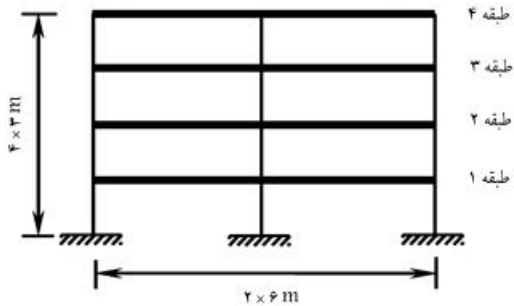
که در آن، پارامتر مثبت σ کنترل‌کننده‌ی درجه‌ی مدولاسیون فاز است، که در این مطالعه ۶ در نظر گرفته شده است.

از آنجاکه P یک کمیت مختلط است، نرمال سازی از طریق P ، یک شیفت فاز را وارد می‌کند. این شیفت موجب می‌شود تا هنگام بزرگتر شدن $|w_{CG}|$ فاز w_{CG} در $\tau = t$ غیر صفر شود.

همچنین مدولاسیون سینوس وار فوریه با افزایش پهنه‌ی w_{CG} در حوزه‌ی فوریه موجب برخی لکه‌های قائم بروزی S_{CW} می‌شود، یک نمونه از کاربرد تبدیل



شکل ۲. الگوریتم روش معرفی شده برای شناسایی محل و تخمین میزان خسارت.



شکل ۳. مدل تحلیلی قاب فولادی ۴ طبقه.

جدول ۱. مشخصات قاب فولادی ۴ طبقه.

قطعه	تمام طبقات
۲IPE ۲۲	تیر
۲IPE ۱۸ + PL ۲۵ X ۸	ستون

۱.۵. مثال اول: قاب ۴ طبقه

در این بخش، از الگوریتم پیشنهادی برای شناسایی خسارت سازه‌یی در یک قاب فولادی ۴ طبقه استفاده شده است. این قاب دو دهانه ۶ متری دارد. قاب مورد نظر با سنت درجهات آزادی دورانی در گره‌های تراز طبقات، در نرم‌افزار SAP ۲۰۰۰ طراحی و مشخصات مقاطع ستون‌های آن تعیین شده است. جرم تمام طبقات در نرم‌افزار به منظور تحلیل دینامیکی، $m = 2569 \text{ kg}$ در نظر گرفته شده است.

میرایی سیستم، به صورت میرایی رایانی که متناسب با جرم و سختی سازه است، در نظر گرفته شده است. مشخصات و مدل تحلیلی قاب به ترتیب در جدول ۱ و شکل ۳ ارائه شده است.

برای این سازه، ۳ الگوی خسارت مختلف در نظر گرفته شده است. همچنین یک الگوی خسارت در حالت وجود نویز (الگوی خسارت چهارم) نیز به منظور لحاظ کردن اثر وجود نویز در نظر گرفته شده است. برای شبیه‌سازی سیگنال‌های آغشته به نویز در نرم‌افزار متلب (MATLAB)، ازتابع `randn` استفاده شده است.

۵. به دست آوردن قدر مطلق تفاضل هر درایه‌یی ستون نام ماتریس SCW از میانگین ستون مربوط (درایه‌یی نام از بردار میانگین) و سپس محاسبه‌یی مجموع این مقادیر برای هر ستون که در نهایت یک بردار $N \times 1$ به دست می‌آید، که بردار انحراف مطلق (ADV) 10 است (رابطه‌یی 10):

$$ADV(\cdot, n) = \sum_{n=1}^N \sum_{m=1}^M abs[abs SCW(m, n) - MedianVector(\cdot, n)] \quad (1)$$

که در آن، $SCW(m, n)$ درایه‌یی سطر m و ستون n از ماتریس SCW است.

۶. تعیین شاخص SAD با استفاده از جمع درایه‌های بردار انحراف مطلق و براساس رابطه‌یی 10 :

$$SAD = \sum_{n=1}^N ADV(\cdot, n) \quad (10)$$

(۱۰) ADV(·, n) درایه‌یی ستون n از بردار انحراف مطلق است. با بررسی‌های انجام شده بر روی شاخص SAD مشخص شده است که این شاخص حساسیت بالایی نسبت به خرابی ایجاد شده در سازه‌ی مربوط دارد و افزایش آن نشانگر خرابی بیشتر در سازه است.

گام‌های ۲ الی ۶ برای هر طبقه و در دو حالت سالم و آسیب‌دیده باید تکرار شوند.

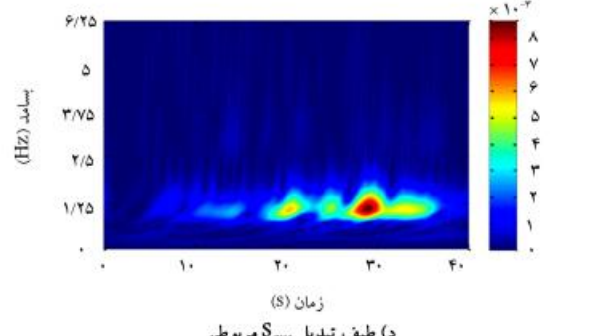
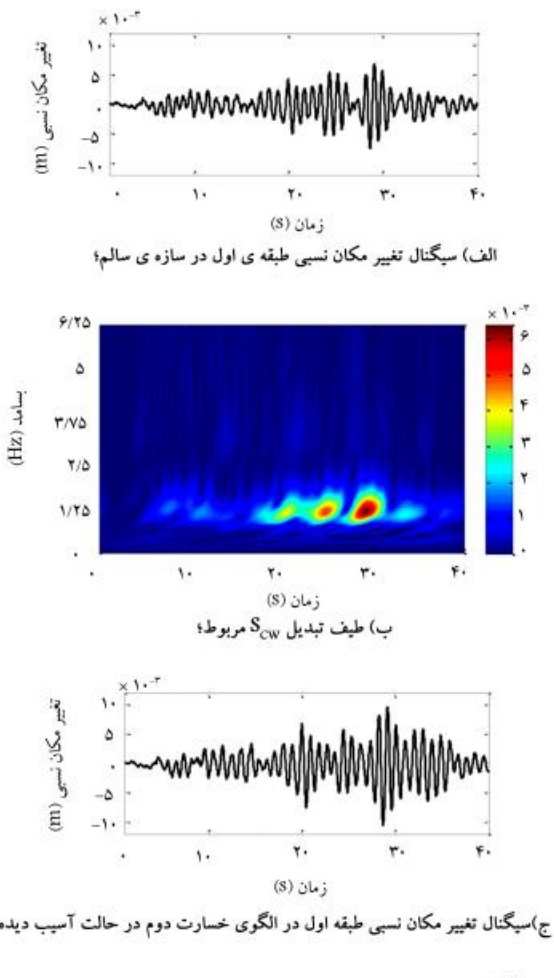
۷. محاسبه‌یی مقدار خسارت در طبقه‌ی k مطابق رابطه‌یی 11 :

$$Damage_k = \frac{(SAD_d^k - SAD_h^k)}{SAD_h^k} \times 100 \quad (11)$$

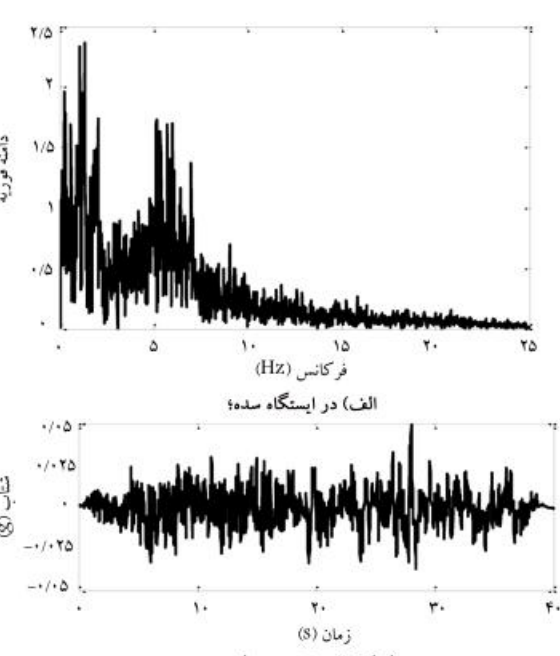
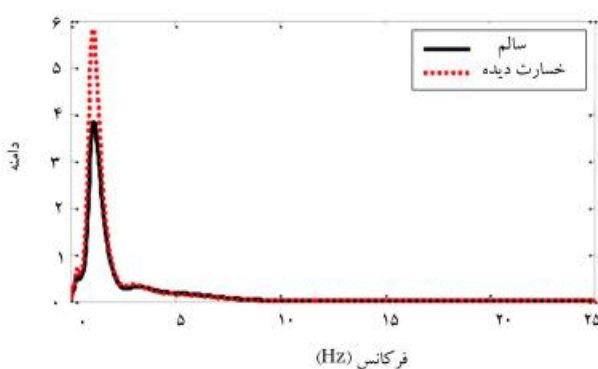
که در آن SAD_d^k و SAD_h^k به ترتیب شاخص‌های محاسبه شده برای دو حالت سالم و آسیب‌دیده در طبقه‌ی k هستند. در رابطه‌یی 11 نیز مقدار خسارت در طبقه‌ی k سازه است که بر حسب درصد بیان می‌شود. در عمل سیگنال سازه‌ی سالم با استفاده تحلیل دینامیکی سازه و براساس مشخصات سازه‌ی سالم نظری مشخصات هندسی و خواص مصالح به دست می‌آید. به منظور تحلیل دینامیکی سازه‌ی سالم باید شتاب‌نگاشتشی مورد استفاده قرار گیرد که تحت آن سیگنال‌های سازه‌ی آسیب‌دیده در هر طبقه توسط حسگر مربوط ثبت شده‌اند. این شتاب‌نگاشت هم زمان با ثبت سیگنال‌های سازه‌ی آسیب‌دیده در پای سازه ثبت می‌شود. در شکل ۲، الگوریتم کلی روش معرفی شده برای شناسایی محل و تخمین میزان خسارت ارائه شده است.

۵. مثال عددی

توانایی تبدیل SCW در شناسایی خسارت سازه‌یی با دو مثال عددی بررسی شده است. مثال‌های عددی شامل دو قاب برشی ۴ و ۸ طبقه در معرض بارگذاری لرزه‌یی است. در مثال‌های ذکر شده، کلیه‌ی الگوهای خسارت در نظر گرفته شده به صورت کاهش سختی در طبقه‌ی خسارت دیده است. در این بخش، الگوهای خسارت در طبقات سازه به گونه‌یی انتخاب شده‌اند تا خرابی‌های ایجاد شده در اثر خستگی‌های کم‌سیکل (خرابی‌های ناشی از زلزله) را در عمل به نوعی شبیه‌سازی کنند. علاوه بر این، در هر یک از مثال‌های عنوان شده، یک الگوی خسارت نیز در حالت وجود نویز در سیگنال پاسخ سازه به منظور لحاظ کردن اثر وجود نویز در سیگنال در نظر گرفته شده است.



شکل ۵. نمونه‌یی از سیگنال‌های تغییر مکان سازه‌ی چهار طبقه و طیف‌های مربوطه.



شکل ۴. شتاب‌نگاشت زلزله‌ی طبس ثبت شده در ایستگاه سده.

اینتابع یک توزیع گاوسی با میانگین صفر و واریانس ۱ تولید می‌کند. دنباله‌ی تولید شده در یک ضریب ثابت ضرب می‌شود، به تحوی که جذر میانگین مرتعات آن در حدود ۵٪ جذر میانگین مرتعات سیگنال پاسخ ارتعاشی در درجه‌ی آزادی موردنظر شود، این میزان توزیع به تمام سیگنال‌های ثبت شده در درجات آزادی مختلف در الگوی خسارت چهارم اضافه شده است.

۱.۱.۵. تحریک زلزله

پس از وقوع هر زلزله، تشخیص وجود محل و شدت آسیب‌های وارد در سازه برای ارزیابی آن در اوایلیت قرار دارد. بعد از وقوع زلزله‌ی اصلی در منطقه، پس‌لرزه‌های متعدد با شتاب پیشینه‌های کم ($PGA < 1/1(g)$) در منطقه روی می‌دهند، که تقریباً می‌توان گفت که سازه‌ها در معرض پس‌لرزه‌های مذکوره هیچ‌گونه خرابی را متحمل نمی‌شوند. از این‌رو می‌توان از پس‌لرزه‌های ذکر شده به عنوان تحریک ورودی در شناسایی خسارت به وجود آمده در زلزله‌ی اصلی استفاده کرد. مهم‌ترین ویژگی شتاب‌نگاشت مربوط به پس‌لرزه‌های ذکر شده، علاوه بر PGA کم، پنهانی بسامدی باریک است؛ بهطوری که شتاب‌نگاشت‌های ثبت شده در ایستگاه‌های دور از گسل نیز چنین خصوصیاتی دارند.^[۱۲] لذا در این پژوهش از تحریک زلزله‌ی طبس که در ایستگاه سده و در فاصله‌ی ۱۶۵ کیلومتری از محل وقوع با $PGA = 276\text{ g}^{+0.5}$ پیش‌بینی شده است، با مقیاس $PGA = 50\text{ g}^{+0.5}$ به عنوان تحریک ورودی قاب‌ها استفاده شده است. در شکل ۴، نیز به ترتیب شتاب‌نگاشت و طیف فوریه مربوط به تحریک ذکر شده، ارائه شده است.

۲.۱.۵. نتایج

به‌منظور شناسایی و تخمین میزان آسیب در سازه براساس روند ارائه شده و با استفاده از تحریک معرفی شده در بخش پیشین، ابتدا سیگنال موردنظر در هر طبقه و در دو حالت سالم و آسیب‌دیده استخراج شده است. سپس ماتریس تبدیل S_{CW} متعاقب آن بردار انحراف مطلق هر سیگنال به دست آمده است. شکل ۵، سیگنال‌های تغییر مکان نسبی در طبقه‌ی اول، مربوط به الگوی خسارت اول در دو حالت سالم و آسیب‌دیده به علاوه طیف تبدیل S_{CW} این سیگنال‌ها را نشان می‌دهد. در شکل ۶،

مقادیر تخمین زده شده با استفاده از روش ذکر شده ارائه شده است. چنانچه مشاهده می شود روش معروف شده توائسته است با تقریب قابل قبولی مقادیر خسارت را در هر طبقه و برای هر الگوی خسارت برآورد کند. همچنین در الگوی خسارت چهارم که مربوط به سیگنال های آلوه به نویز است، دقت کاربرد تبدیل SCW در روش ارائه شده در تقریب مقدار خسارت به خوبی تعبیان است. در شکل ۷ نیز علاوه بر تشخیص وجود خرابی در طبقه ای آسیب دیده، تخمین میزان خسارت بهوضوح مشاهده می شود. نکته‌ی قابل توجه، اینکه در برخی از طبقات بدون آسیب، مقدار خسارت منفی است که با توجه به میزان کم و منفی بودن این مقادیر می‌توان از آن‌ها صرف نظر کرد و ملاک را براساس مقادیر مثبت خسارت قرار داد.

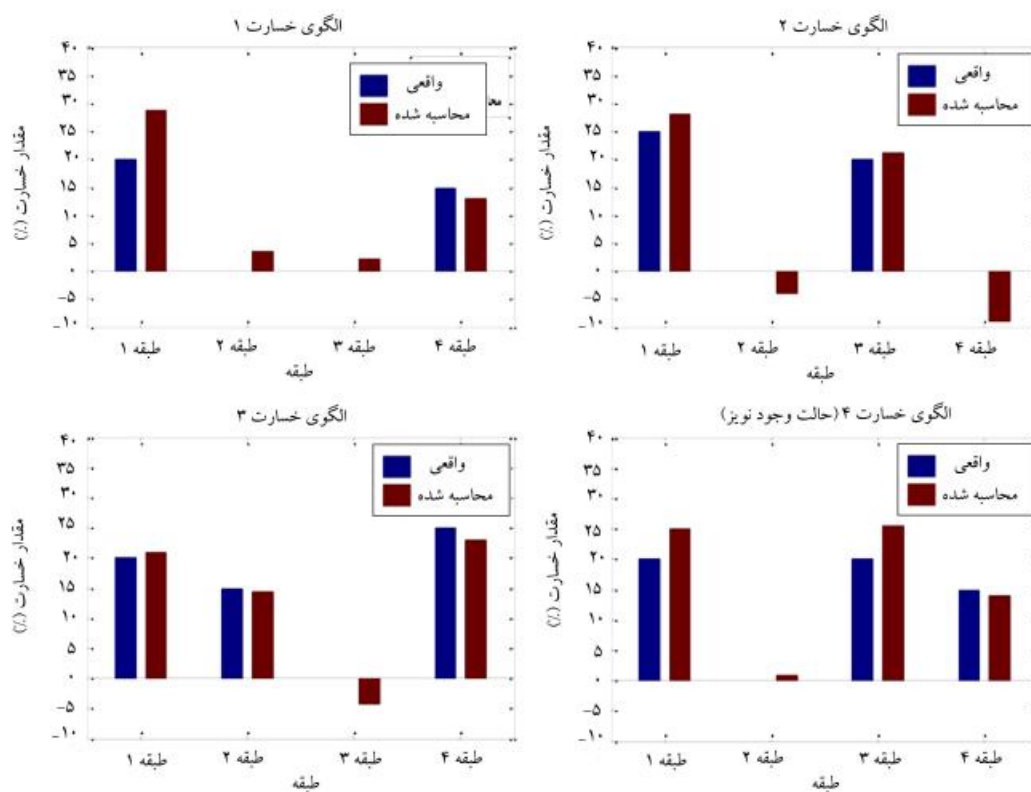
۲.۵. مثال دوم: قاب ۸ طبقه

در این بخش از الگوریتم پیشنهادی به منظور شناسایی و تخمین مقدار خسارت سازی‌یی در یک قاب فولادی ۸ طبقه استفاده شده است. قاب مذکور ۲ دهانه‌ی ۶ متری دارد. قاب موردنظر باست در درجات آزادی دورانی در گره‌های تراز طبقات با استفاده از نرم‌افزار SAP ۲۰۰۰، طراحی و مشخصات مقاطع ستون‌های آن تعیین شده است. به منظور تحلیل تاریخچه‌ی زمانی جرم تمام طبقات در نرم‌افزار $m = 2569\text{ kg}$ در نظر گرفته شده است. همچنین میرایی سیستم به صورت میرایی رله‌یی که متناسب با جرم و سختی سازه است، در نظر گرفته شده است. مدل تحلیلی و مشخصات این قاب در شکل ۸ و جدول ۳ ارائه شده است.

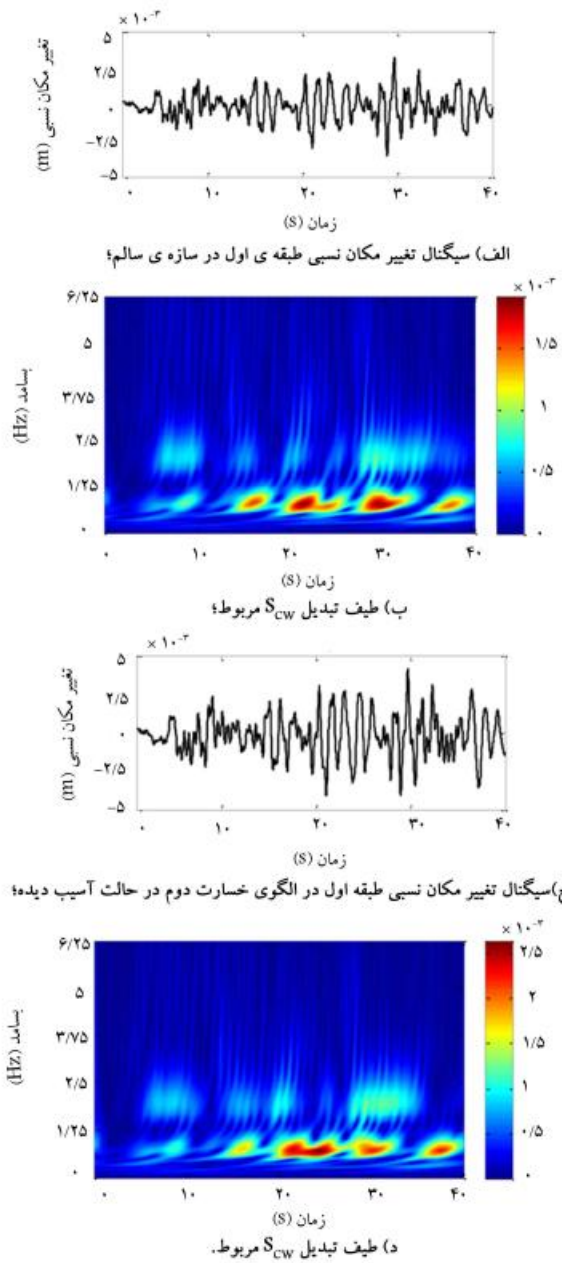
در این مثال، ۵ الگوی خسارت مختلف در نظر گرفته شده است. همچنین یک الگوی خسارت در حالت وجود نویز (الگوی خسارت ششم)، نیز به منظور لحاظ کردن اثر وجود نویز مطابق توضیحات ارائه شده در مثال قبل در نظر گرفته شده است.

نیز می‌توان منحنی بردار انحراف مطلق سیگنال‌ها نشان داده شده در شکل ۵ را مشاهده کرد. در ادامه، بعد از محاسبه‌ی شاخص SAE هر سیگنال، مقدار خسارت در هر طبقه تعیین شده است. با جای‌گذاری تبدیل موجک در روند ذکر شده و محاسبه‌ی ماتریس مربوط با استفاده از تبدیل موجک، مقادیر خسارت نیز محاسبه شده است. در جدول ۲، مقدار خسارت در نظر گرفته شده برای هر الگوی خسارت و جدول ۲، مقادیر واقعی و محاسبه‌شده خرابی در قاب ۸ طبقه‌ی فولادی.

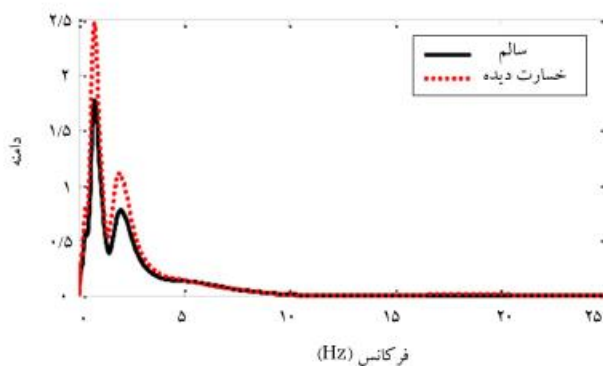
الگوی خسارت	مقدار خسارت (%)		
	موجک	تبدیل SCW	طبقه واقعی
الگوی ۱	۵۰	۲۸	۲۰
	۴۱	۱۲	۱۵
الگوی ۲	۵۲	۲۸	۲۵
	۴۳	۲۱	۲۰
الگوی ۳	۴۲	۲۱	۲۰
	۳۴	۱۴	۱۵
الگوی ۴	۵۴	۲۳	۲۵
	۴۶	۲۵	۲۰
(وجود نویز)	۴۸	۲۵	۲۰
	۴۱	۱۴	۱۵



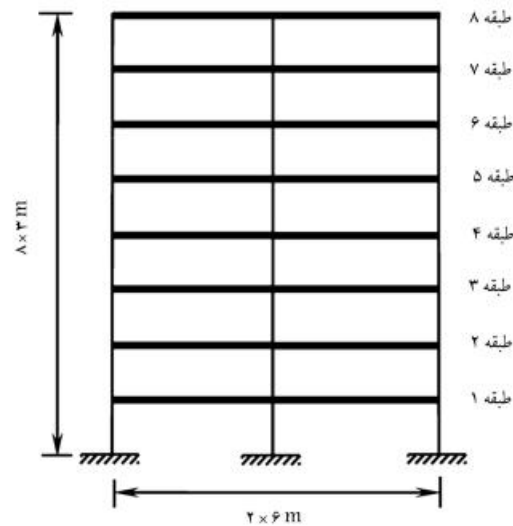
شکل ۷. نمودار میله‌یی خسارت‌های واقعی و محاسبه‌شده با استفاده از روش پیشنهادی در قاب ۸ طبقه‌ی فولادی.



شکل ۹. نمونه‌ی از سیگنال‌های تغییر مکان سازه‌ی هشت طبقه و طیف‌های مربوطه.



شکل ۱۰. منحنی بردار انحراف مطلق طبقه ای اول در الگوی خسارت دوم.



شکل ۸. مدل تحلیل قاب ۸ طبقه‌ی فولادی.

جدول ۳. مشخصات ستون‌های قاب ۸ طبقه‌ی فولادی.

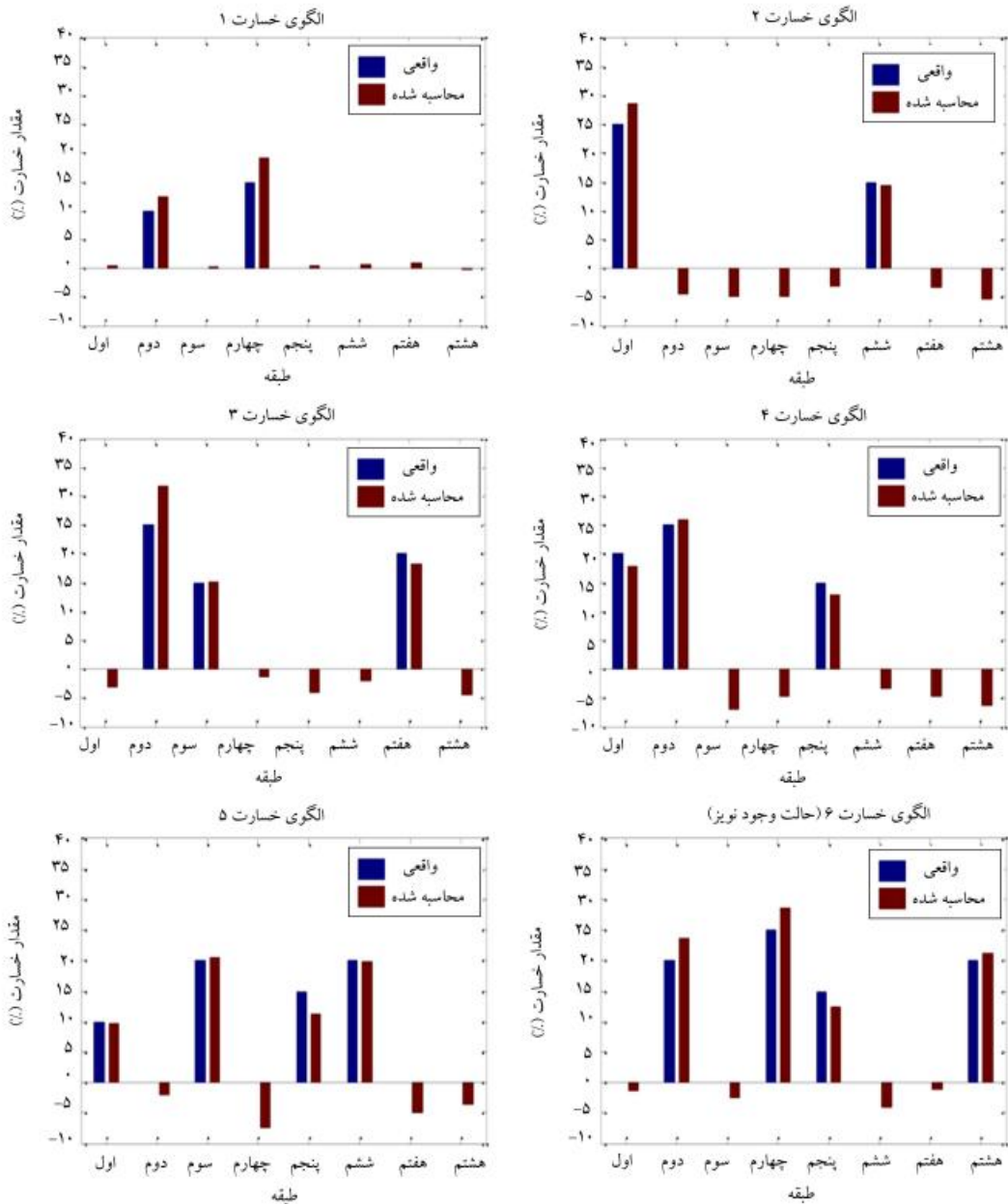
طبقه	قطعه ستون
۱	۲ IPE ۱۸۰+PL ۲۵۰X۲۰
۳	۴ IPE ۱۸۰+PL ۲۵۰X۱۵
۶	۵ و ۶ IPE ۱۸۰+PL ۲۵۰X۱۲
۷ و ۸	۷ IPE ۱۸۰+PL ۲۵۰X۶

۱.۲.۵ نتایج

در اینجا نیز به منظور استخراج سیگنال‌های مورد نظر از تحریک ارائه شده در مثال قبل استفاده شده است.

مشابه روند طی شده در مثال قبل، پس از محاسبه‌ی سیگنال مورد نظر در هر طبقه و در دو حالت سالم و آسیب دیده، ماتریس تبدیل SCW و متعاقب آن بردار انحراف مطلق هر سیگنال به دست آمده است. بعد از این کار با استفاده از شاخص SCW ، هر سیگنال مقدار خسارت در هر طبقه تعیین شده است. علاوه بر این، با جایگذاری تبدیل موجک در روند ذکرشده و محاسبه‌ی ماتریس مربوط با استفاده از تبدیل موجک، مقادیر خسارت نیز محاسبه شده است. شکل ۹، سیگنال‌های تغییر مکان نسبی در طبقه ای اول، مربوط به الگوی خسارت دوم در دو حالت سالم و آسیب دیده به علاوه‌ی طیف تبدیل SCW این سیگنال‌ها را نشان می‌دهد. در شکل ۱۰ نیز می‌توان منحنی بردار انحراف مطلق سیگنال‌های نشان داده شده در شکل ۹ را مشاهده کرد.

چنانچه در جدول ۴ ملاحظه می‌شود، کاربرد تبدیل SCW در روش معروفی شده در مقایسه با تبدیل موجک توانسته است با تقریب قابل قبولی، مقادیر خسارت را در هر طبقه و برای هر الگوی خسارت برآورد کند. در الگوی خسارت ششم، که مربوط به سیگنال‌های آلوهه به نویز است، توانایی بالای تبدیل SCW در تخمین مقدار خسارت به خوبی مشاهده می‌شود. همچنین طبقات آسیب دیده و میزان خسارت با توجه به شکل ۱۱ با دقت بالایی تشخیص داده شده است. نکته‌ی قابل توجه در مثال ۲.۵، وجود مقدار خسارت منفی در برخی از طبقات قادر آسیب است، که با توجه به میزان کم و منفی بودن مقادیر خسارت منفی، می‌توان از آن‌ها صرف نظر کرد و ملاک را براساس مقادیر مثبت خسارت قرار داد.



شکل ۱۱. نمودار میله‌بی خسارت‌های واقعی و محاسبه‌شده با استفاده از روش پیشنهادی در قاب ۸ طبقه‌ی فولادی.

۲. تغییر عرض پنجره در تبدیل SCW با تغییر بسامد سیگنال:

۳. مدولاسیون فاز سیگنال و کنترل درجه‌ی مدولاسیون با استفاده از پارامتر σ که مهم‌ترین عامل در آشکارسازی تغییرات بسامد و دامنه‌ی سیگنال ناشی از وجود خرابی است.

به منظور بررسی کارایی و قابلیت کاربرد روش معرفی شده در شناسایی خسارت سازی، از دو مثال عددی استفاده شده است. مثال‌ها شامل دو قاب ۴ و ۸ طبقه‌ی فولادی تحت بارگذاری لرزه‌ی هستند. نتایج به دست آمده از مقایسه بین تبدیل موجک و تبدیل SCW نشان می‌دهد که کاربرد تبدیل SCW در روش ارائه شده، یک ابزار قوی و قابل اعتماد در تشخیص وجود و تخمین شدت خرابی در سازه‌ها حتی با وجود نویز در سیگنال هاست.

۶. نتیجه‌گیری

در این مطالعه یک روش مؤثر در شناسایی محل و تخمین میزان خسارت سازه‌ی براساس پردازش سیگنال تغییر مکان نسبی معرفی شده است. در این روش از تبدیل S با پنجره‌ی مختلط و مدولاسیون فاز برای شناسایی خسارت سازی استفاده شده است.

تبدیل SCW به این دلایل ابزار قدرتمندتری در پردازش سیگنال تغییر مکان نسبی طبقه و به تبع آن آشکار کردن تغییرات سختی طبقات به دلیل وجود خرابی است:

۱. استفاده از پارامتر بسامد به جای پارامتر مقیاس؛

جدول ۴. مقادیر واقعی و محاسبه شده خرابی در قاب ۸ طبقه‌ی فولادی.

موجک	تبديل <i>S_{CW}</i>	تبديل واقعی	طبقه	مقدار خسارت (%)	
				الگوی	خسارت
۱۳	۱۲	۱۰	دوم	الگوی ۱	
۲۰	۱۹	۱۵	چهارم		
۲۷	۲۸	۲۵	اول	الگوی ۲	
۲۲	۱۴	۱۵	پنجم		
۳۴	۳۱	۲۵	دوم	الگوی ۳	
۱۹	۱۵	۱۵	سوم		
۲۶	۱۸	۲۰	هفتم	الگوی ۴	
۲۷	۱۸	۲۰	اول		
۳۵	۲۶	۲۵	دوم	الگوی ۵	
۱۸	۱۳	۱۵	پنجم		
۱۰	۱۰	۱۰	اول	الگوی ۶	
۲۵	۲۱	۲۰	سوم		
۱۸	۱۱	۱۵	پنجم	الگوی ۷	
۲۶	۲۰	۲۰	ششم		
۲۲	۲۳	۲۰	دوم	(وجود نویزا)	
۳۸	۲۸	۲۵	چهارم		
۱۶	۱۲	۱۵	پنجم		
۲۸	۲۱	۲۰	هشتم		

پانوشت‌ها

1. fast fourier transform (FFT)
2. Short-time fourier transform (STFT)
3. wavelet transform (WT)
4. wavelet packet transform (WPT)
5. S-transform
6. complex Gaussian window
7. phase Modulation
8. voice
9. sum of the absolute deviation (SAD)
10. absolute deviation vector (ADV)

(References) منابع

1. Kim, H. and Melhem, H. "Damage detection of structures by wavelet analysis", *Engineering Structures*, **26**(3), pp. 347-362 (2004).
2. Doebling, S.W., Farrar, C.R. and Prime, M.B. "A summary review of vibration-based damage identification methods", *Shock and Vibration Digest*, **30**(2), pp. 91-105 (1998).
3. Hou, Z., Noori, M. and Amand, R.S. "Wavelet-based approach for structural damage detection", *Journal of Engineering Mechanics*, **126**(7), pp. 677-683 (2000).
4. Biemans, C. and et.al. "Crack detection in metallic structures using broadband excitation of acousto-ultrasonics", *Journal of Intelligent Material Systems and Structures*, **12**(8), pp. 589-597 (2001).
5. Sun, Z. and Chang, C. "Structural damage assessment based on wavelet packet transform", *Journal of Structural Engineering*, **128**(10), pp. 1354-1361 (2002).
6. Yam, L., Yan, Y. and Jiang, J. "Vibration-based damage detection for composite structures using wavelet transform and neural network identification", *Composite Structures*, **60**(4), pp. 403-412 (2003).
7. Ovanesova, A. and Suarez, L. "Applications of wavelet transforms to damage detection in frame structures", *Engineering Structures*, **26**(1), pp. 39-49 (2004).
8. Han, J.-G., Ren, W.-X. and Sun, Z.-S. "Wavelet packet based damage identification of beam structures", *International Journal of Solids and Structures*, **42**(26), pp. 6610-6627 (2005).
9. Li, H., Deng, X. and Dai, H. "Structural damage detection using the combination method of EMD and wavelet analysis", *Mechanical Systems and Signal Processing*, **21**(1), pp. 298-306 (2007).
10. Young Noh, H. and et.al. "Use of wavelet-based damage-sensitive features for structural damage diagnosis using strong motion data", *Journal of Structural Engineering*, **137**(10), pp. 1215-1228 (2011).
11. Hester, D. and Gonzalez, A. "A wavelet-based damage detection algorithm based on bridge acceleration response to a vehicle", *Mechanical Systems and Signal Processing*, **28**, pp. 145-166 (2012).
12. Stockwell, R. "Why use the S-transform", *AMS Pseudo-Differential Operators: Partial Differential Equations and Time-Frequency Analysis*, **52**, pp. 279-309 (2007).
13. Stockwell, R., Mansinha, L. and Lowe, R. "Localization of the complex spectrum: The S transform", *Signal Processing, IEEE Transactions on*, **44**(4), pp. 998-1001(1996).
14. Bindi, D. and et.al., "Site amplifications observed in the gubbio basin, central Italy: Hints for lateral propagation effects", *Bulletin of the Seismological Society of America*, **99**(2A), pp. 741-760 (2009).
15. Parolai, S. "Denoising of seismograms using the S transform", *Bulletin of the Seismological Society of America*, **99**(1), pp. 226-234 (2009).
16. Pakrashi, V. and Ghosh, B. "Application of S transform in structural health monitoring", in 7th International Symposium on Nondestructive Testing in Civil Engineering (NDTCE), Nantes, France (30 Jun-3 July 2009).
17. Ditommaso, R. and et.al. "Monitoring the structural dynamic response of a masonry tower: Comparing classical and time-frequency analyses", *Bulletin of Earthquake Engineering*, **10**(4), pp. 1221-1235 (2012).
18. Ditommaso, R., Mucciarelli, M. and Ponzo, F.C. "Analysis of non-stationary structural systems by using a band-variable filter", *Bulletin of Earthquake Engineering*, **10**(3), pp. 895-911 (2012).
19. Pinnegar, C. and Mansinha, L. "Time-local fourier analysis with a scalable, phase-modulated analyzing function: The S-transform with a complex window", *Signal Processing*, **84**(7), pp. 1167-1176 (2004).

20. Mallat, S., *A Wavelet Tour of Signal Processing*, Academic press (1999).
21. Liu, J., Ma, D. and Li, M. "S-transform and its application in the spectrum analysis of seismic signal", in *Advances in Electronic Engineering, Communication and Management*, **1**, Springer, pp. 81-86 (2012).
22. Pinnegar, C.R. and Mansinha, L. "The bi-Gaussian S-transform", *SIAM Journal on Scientific Computing*, **24**(5), pp. 1678-1692 (2003).
23. Limongelli, M. "The interpolation damage detection method for frames under seismic excitation", *Journal of Sound and Vibration*, **330**(22), pp. 5474-5489 (2011).